

СПЕКТРАЛЬНЫЕ И ЭЛЕКТРИЧЕСКИЕ ХАРАКТЕРИСТИКИ ГЕТЕРОСТРУКТУР n -GaAs— $(n-p)$ -Al_xGa_{1-x}As— p -Al_(y>x)Ga_{1-y}As— p^+ -GaAs С УЛЬТРАТОНКИМИ ПОВЕРХНОСТНЫМИ СЛОЯМИ

В. М. Андреев, В. С. Калиновский, М. М. Миланова,
А. М. Минтаиров, В. Д. Румянцев, К. Е. Смекалкин, Е. О. Стругова

Физико-технический институт им. А. Ф. Иоффе Российской академии наук,
194021, Санкт-Петербург, Россия

(Получена 9.07.1992. Принята к печати 14.07.1992)

Исследованы зависимости темновых вольт-амперных характеристик и спектров фотоответа гетероструктур n -GaAs— $(n-p)$ -Al_xGa_{1-x}As— p -Al_(y>x)Ga_{1-y}As— p^+ -GaAs от состава фотоактивной области ($x = 0$ —0.7), толщины и состава слоя широкозонного окна p -Al_yGa_{1-y}As ($D = 0$ —300 Å, $y = 0.85$ —0.95) и толщины наружного слоя p^+ -GaAs ($d = 0$ —300 Å). Установлено, что в таких структурах минимальные значения плотности обратных темновых токов $j_d = 10^{-12}$ А/см² достигаются при $x = 0.3$ ($T = 300$ K), а максимальные значения коэффициента сбиения фотогенерированных носителей в ультрафиолетовой области (при $\lambda = 400$ нм) $Q_{uv} = 0.75$ имеют место при d , $D = 70$ Å, $y = 0.95$ и $x = 0$. Показано, что увеличение ультрафиолетовой чувствительности в этом случае обусловлено аккумулированием поверхностного объемного заряда в сильно легированном слое p^+ -GaAs и минимизацией потерь, связанных с поглощением света в слое широкозонного окна и наружном слое p^+ -GaAs.

Гетероструктуры $(n-p)$ -GaAs— p -AlGaAs с узкозонной фотоактивной областью и широкозонным окном применяются при создании высокoeffективных солнечных элементов [1] и фотоприемников различных типов. Совершенствование и оптимизация таких структур для различных условий работы зависят от возможности варьирования спектрального положения полосы фоточувствительности и повышения обнаружительной способности. Принципиальным является вопрос о повышении коротковолновой фоточувствительности. Последняя радикальным образом зависит от толщины широкозонного окна D и его уровня легирования, причем, как показано в работе [2], при $D < 300$ Å необходимо учитывать соотношение между приращением количества фотогенерированных носителей в активной области за счет уменьшения поглощения света в слое AlGaAs и снижением количества этих носителей за счет выброса или туннелирования через тонкий слой AlGaAs на поверхностные состояния. Очевидно, при увеличении (за счет увеличения доли AlAs) ширины запрещенной зоны фотоактивной области будут существенным образом изменяться условия удержания в ней фотогенерированных носителей, поскольку высота потенциального барьера вблизи поверхности будет уменьшаться, а его конфигурация может изменяться. Таким образом, положение и форма коротковолнового спада фоточувствительности оказываются связанными с содержанием AlAs в области p — n -перехода. Варьирование содержания AlAs вместе с тем необходимо при оптимизации целого ряда приборов: широкозонных элементов в каскадных солнечных элементах; датчиков фиолетового и ультрафиолетового излучения с целью снижения их фоточувствительности в видимой и ИК области; фотодетекторов для сцинтиляционных датчиков высокозергетических частиц с целью согласования их полосы фоточувствительности с полосой люминесценции кристаллов-цинтиляторов и повышения их

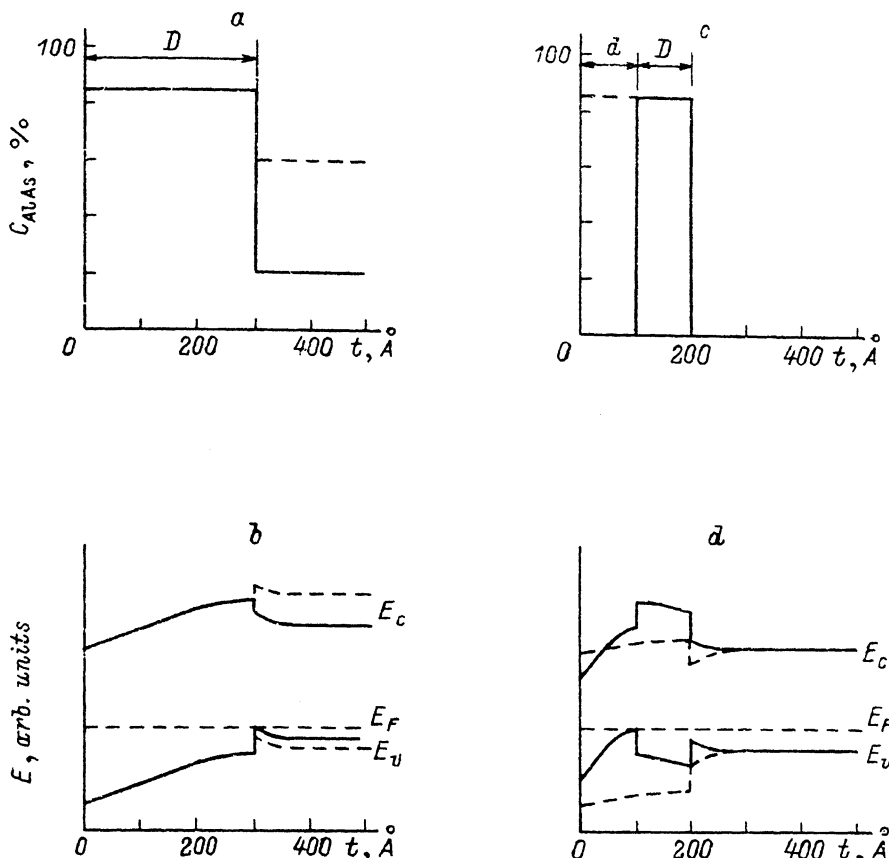


Рис. 1. Распределение содержания AlAs C_{AlAs} (а, с) и энергетические зонные диаграммы (б, д) вблизи поверхности в гетероструктурах n -GaAs—($n-p$)- $Al_xGa_{1-x}As$ — p - $Al_{0.85}Ga_{0.15}As$ — p^+ -GaAs. t — расстояние от поверхности структуры. а, б — структуры типа А: $D = 300$ Å, $d = 0$ Å; сплошная линия — $x = 0.2$, штриховая — $x = 0.6$; с, д — структуры типа Б: $x = 0$; сплошная линия — $D = d = 100$ Å, штриховая — $D = 200$ Å, $d = 0$ Å.

обнаружительной способности за счет снижения темновых токов в $p-n$ -переходе на основе более широкозонных материалов.

В настоящей работе представлены результаты исследования темновых вольт-амперных характеристик (ВАХ) и спектров фотоответа гетероструктур n -GaAs—($n-p$)- $Al_xGa_{1-x}As$ — p - $Al_{(y>x)}Ga_{1-y}As$ — p^+ -GaAs, в которых толщины слоя широкозонного окна p - $Al_yGa_{1-y}As$ (D) и наружного слоя p^+ -GaAs (d) изменялись в диапазоне $D, d = 0-300$ Å, а содержание AlAs в области $p-n$ -перехода варьировалось в пределах $x = 0-0.7$. Установлено, что в таких структурах минимальные значения плотности обратных темновых токов $j_d \approx 10^{-12}$ А/см² достигаются при $x = 0.3$ ($T = 300$ K), а максимальные значения коэффициента собирания фотогенерированных носителей в ультрафиолетовой области (при $\lambda = 400$ нм), достигающие $Q_{uv} = 0.75$, имеют место при $d, D = 70$ Å и $x = 0$. Показано, что увеличение ультрафиолетовой чувствительности в этом случае обусловлено аккумулированием поверхностного объемного заряда в сильно легированном наружном слое p^+ -GaAs и минимизацией потерь, связанных с поглощением света в слое широкозонного окна и наружном слое p^+ -GaAs.

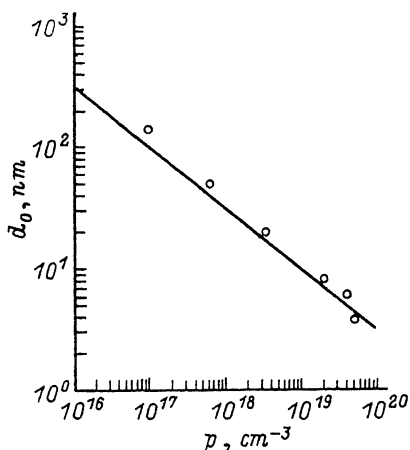


Рис. 2. Расчетная зависимость толщины d_0 обедненного поверхностного слоя в p -GaAs от концентрации p свободных дырок. Точки — экспериментальные значения, полученные на эпитаксиальных образцах p -GaAs из анализа спектров комбинационного рассеяния света.

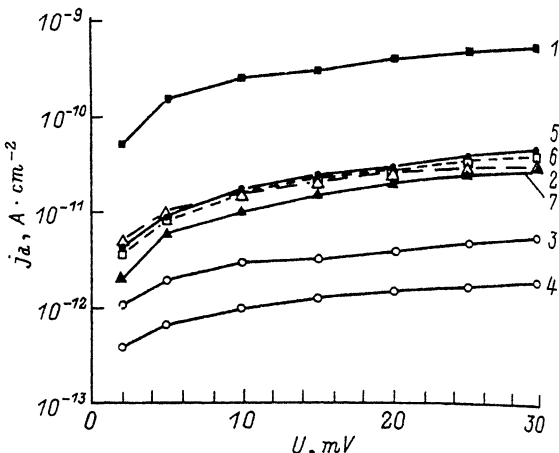


Рис. 3. Обратные ветви вольт-амперных характеристик гетероструктур $(n-p)$ - $\text{Al}_x\text{Ga}_{1-x}\text{As}$ - p - $\text{Al}_{0.85}\text{Ga}_{0.15}\text{As}$. x : 1 — 0, 2 — 0.05, 3 — 0.15, 4 — 0.3, 5 — 0.4, 6 — 0.55, 7 — 0.66.

Экспериментальные образцы

Структуры n -GaAs-($n-p$)- $\text{Al}_x\text{Ga}_{1-x}\text{As}$ - p - $\text{Al}_{(y>x)}\text{Ga}_{1-y}\text{As}$ - p^+ -GaAs выращивались на подложках n^+ -GaAs методом низкотемпературной жидкокристаллической эпитаксии [3]. Слой широкозонного окна кристаллизовался в интервале температур от $T = 450$ — 470 °C (начало) до $T = 400$ — 410 °C при скорости охлаждения 0.5 град/мин. В качестве легирующих примесей использовались Sn для получения n -типа, Ge и Mg — для получения p -типа проводимости, причем Ge — при выращивании GaAs и твердых растворов с низким содержанием AlAs ($x < 0.3$), а Mg — для твердых растворов с $x, y > 0.3$. Концентрации свободных носителей в области p - n -перехода составляли $n \approx 10^{17}$ и $p \approx 5 \cdot 10^{17}$ см $^{-3}$; в слое $\text{Al}_y\text{Ga}_{1-y}\text{As}$ — $p \approx 1 \cdot 10^{18}$ см $^{-3}$ и в наружном сильно легированном слое GaAs — $p^+ \approx 10^{19}$ см $^{-3}$. Глубина залегания p - n -перехода составляла 1—1.5 мкм. Контроль толщин, состава и концентраций свободных носителей слоев p - $\text{Al}_y\text{Ga}_{1-y}\text{As}$ и p^+ -GaAs осуществлялся методом комбинационного рассеяния света [4]. Измерения распределения состава по толщине структур показали, что при $y > 0.9$ между слоями p - $\text{Al}_y\text{Ga}_{1-y}\text{As}$ и p^+ -GaAs имеется переходный слой толщиной 30—40 Å с содержанием AlAs $\approx 50\%$, что связано с особенностями кристаллизации при замене расплава с большим количеством алюминия.

Были исследованы два набора структур: структуры типа A — с различным содержанием AlAs в фотоактивной области, включающей в себя p - n -переход ($x = 0, 0.05, 0.15, 0.3, 0.4, 0.55, 0.66$), $D = 300$ Å ($y = 0.8$), без наружного слоя p^+ -GaAs; структуры типа B — с $x = 0$, но с различной толщиной слоя широкозонного окна $D = 70, 100, 200$ Å ($y = 0.85, 0.95$), и наружного слоя p^+ -GaAs — $d = 0, 70, 100$ Å. Структуры типа A имели на поверхности просветляющее покрытие. Для формирования такого покрытия использовались структуры с исходными толщинами $d \approx 200$ Å и $D \approx 800$ Å, у которых наружный слой p^+ -GaAs и частично по толщине слой широкозонного окна анодно окислялись по площади поверхности, свободной от контактов. Для структур типа B про-

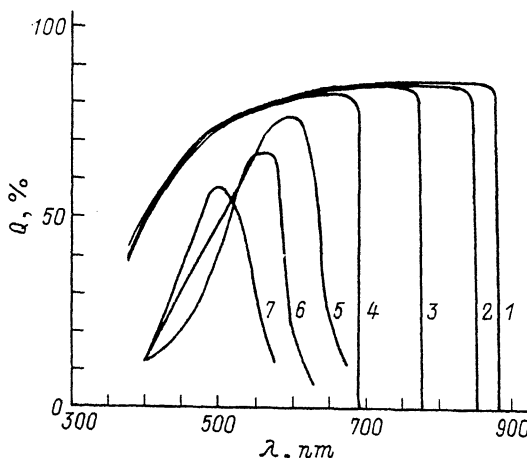


Рис. 4. Спектральные зависимости коэффициента собирания Q для фотоэлементов на основе гетероструктур $(n-p)$ - $\text{Al}_x\text{Ga}_{1-x}\text{As}$ - p - $\text{Al}_{0.85}\text{Ga}_{0.15}\text{As}$. Нумерация кривых и значения x в слоях $\text{Al}_x\text{Ga}_{1-x}\text{As}$ соответствуют рис. 3.

водились измерения коэффициента отражения при $\lambda = 375$ — 900 нм, которые использовались для расчета внутреннего коэффициента собирания фотогенерированных носителей.

Распределение AlAs и энергетические зонные диаграммы вблизи поверхности областей структур типов A ($x = 0.2$ и 0.6) и B ($d = 0$, $D = 200$ Å и $d = D = 100$ Å) приведены на рис. 1, a — d . При построении зонных диаграмм использовались значения ширины запрещенной зоны E_g и разрывов зон в гетеропереходе ΔE_v и ΔE_c из работы [5]. Толщины обедненного поверхностного слоя p -GaAs (d_0) и p - $\text{Al}_x\text{Ga}_{1-x}\text{As}$ (D_0) рассчитывались по стандартной формуле для случая постоянной плотности объемного заряда [6] при значении поверхностного потенциала $\varphi_0 = 0.5 E_g$. Для p -GaAs $d_0[\text{HM}] = 31.8 \cdot 10^9 \cdot (p [\text{см}^{-3}])^{-0.5}$. По спектрам комбинационного рассеяния света нами были проведены измерения зависимости толщины поверхностного обедненного слоя p -GaAs от концентрации свободных дырок на эталонных образцах p -GaAs, легированных Ge и Si, согласно методике, предложенной в [7]. Результаты измерений приведены на рис. 2, и наблюдается хорошее согласие измеренных и рассчитанных значений d_0 . Как видно из рис. 2, для концентраций свободных дырок $p = 10^{18}$ и 10^{19} см^{-3} толщина слоя поверхностного объемного заряда в GaAs составляет ≈ 400 и ≈ 100 Å и, таким образом, сравнима с толщинами поверхностных слоев исследуемых структур. Как видно из рис. 1, b (структура типа A), когда фотоактивная область образована твердым раствором с непрямой структурой зон ($x = 0.6$), на гетерогранице имеется отрицательный скачок потенциала (по отношению к узкозонной области) в зоне проводимости, т. е. здесь отсутствует потенциальный барьер, удерживающий фотогенерированные электроны в узкозонной области. Для структур типа B (рис. 1, d) экранировка поверхностных состояний сильно легированным слоем p^+ -GaAs для $d \approx d_0$ создает потенциал, выталкивающий электроны, фотогенерированные в широкозонном слое и фотоактивной области, в сторону p - n -перехода.

Экспериментальные результаты и их обсуждение

На образцах типа A исследовались зависимости плотности обратных темновых токов и спектров фоточувствительности от содержания AlAs в области p - n -перехода. На рис. 3 представлены обратные ветви темновых ВАХ образцов с $x = 0, 0.05, 0.15, 0.3, 0.4, 0.55$ и 0.67 (кривые 1—7 соответственно) при комнатной

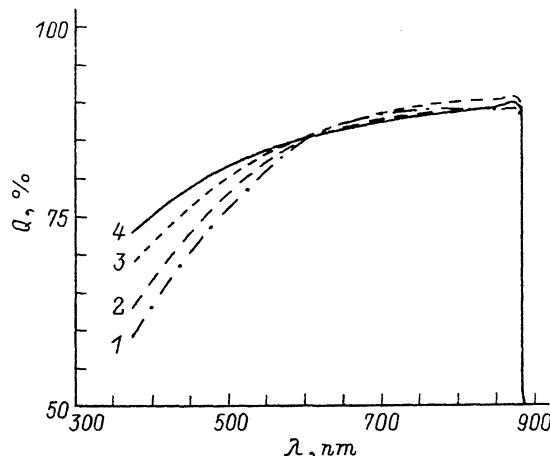


Рис. 5. Спектральные зависимости коэффициента соприятия Q для фотоэлементов на основе гетероструктур $(n-p)$ -GaAs- p -Al _{x} Ga_{1- x} As- p^+ -GaAs. D , d , x : 1 - 200, 0; 2 - 100, 100; 3 - 70, 70; 4 - 70, 70. у: 1-3 - 0.85, 4 - 0.95.

температура. Как видно из рис. 3, наблюдаются резкие изменения значений j_d с увеличением содержания AlAs в области p - n -перехода: уменьшение j_d на два порядка при увеличении x в диапазоне 0—0.3 до значений $j_d < 10^{-12}$ А/см² (кривые 1—4), затем увеличение j_d на порядок при приближении к области непрямозонных составов с $x = 0.4$ (кривая 5) и последующее уменьшение j_d в ~2 раза при увеличении x до 0.7 (кривые 6—7). Возрастание темновых токов, наблюдаемое при переходе в область непрямозонных составов, свидетельствует, по-видимому, о кристаллическом несовершенстве твердых растворов с большим содержанием AlAs.

В спектрах фотоответа этих же образцов (рис. 4) при увеличении x в области p - n -перехода наблюдалось смещение длинноволновой границы и спектрального положения максимума фоточувствительности в сторону больших энергий фотонов в соответствии с изменением ширины запрещенной зоны Al _{x} Ga_{1- x} As. Высокие значения коэффициента соприятия фотогенерированных носителей в максимуме $Q_{\max} \approx 0.85$ (при $\lambda = 500$ —900 нм) и в области ультрафиолетового края $Q_{uv} \approx 0.5$ (при $\lambda = 400$ нм) сохраняются при увеличении x до 0.3 (кривые 1—4). При больших x (кривые 5—7) происходит уменьшение Q_{\max} и Q_{uv} до значений 0.6 и 0.1 соответственно, что, по-видимому, как раз и обусловлено ухудшением условий соприятия фотогенерированных носителей из фотоактивной области (рис. 1, б) вследствие исчезновения в этом случае потенциального барьера, препятствующего движению электронов к поверхности структуры.

На рис. 5 для структур n -GaAs- $(n-p)$ -Al _{x} Ga_{1- x} As- p -Al _{y} Ga_{1- y} As- p^+ -GaAs типа Б (при $x = 0$) представлена зависимость спектров фотоответа от толщин поверхностных слоев p -Al _{y} Ga_{1- y} As и p^+ -GaAs (кривые 1—3) и от состава широкозонного слоя, т. е. от y (кривые 3—4). Из сопоставления спектров 1 ($D = 200$ Å, $d = 0$ Å) и 2 ($D = d = 100$ Å) видно, что при одинаковой суммарной толщине поверхностных слоев в структурах с ультратонким наружным слоем p^+ -GaAs ($d = 100$ Å) наблюдается увеличение ультрафиолетовой чувствительности примерно на 10%. Измерения спектров фотоответа этих структур после удаления слоя толщиной 100 Å с поверхности (т. е. когда для обеих структур $D = 100$ Å, $d = 0$ Å) показали, что для первой структуры спектр не изменяется, в то время как для второй чувствительность в ультрафиолетовой области уменьшается до значений, соответствующих первой структуре. Таким образом, увеличение ультрафиолетовой чувствительности во второй структуре обусловлено экранировкой

поверхностных состояний сильно легированным слоем p^+ -GaAs (рис. 1, d), несмотря на то что само присутствие этого слоя несомненно вносит некоторое дополнительное неактивное поглощение коротковолнового излучения.

Как видно из сопоставления спектров 2—4 на рис. 5, дальнейшее увеличение ультрафиолетовой чувствительности гетероструктур n -GaAs—($n-p$)- $Al_xGa_{1-x}As$ — p - $Al_{(y>x)}Ga_{1-y}As$ — p^+ -GaAs может быть достигнуто за счет минимизации потерь на поглощение возбуждающего света, т. е. путем уменьшения толщин слоев и увеличения содержания AlAs, что позволяет при $D = d = 70 \text{ \AA}$ (при этом процессы туннелирования фотогенерированных носителей на поверхность еще не существенны [2]) и $y = 0.95$ (кривая 4) получить значения внутреннего коэффициента сопротивления в ультрафиолетовой области $Q_{uv} = 0.75$. Отметим, что использование поверхностного слоя p^+ -GaAs облегчает изготовление омических контактов и обеспечивает коррозионную стойкость широкозонного слоя, что позволяет поднять содержание AlAs в этом слое до значения $y = 0.95$.

Таким образом, проведенные исследования показали, что в гетероструктурах n -GaAs—($n-p$)- $Al_xGa_{1-x}As$ — p - $Al_{(y>x)}Ga_{1-y}As$ — p^+ -GaAs, полученных методом низкотемпературной жидкокристаллической эпитаксии, увеличение содержания AlAs в области $p-n$ -перехода до $x = 0.3$ позволяет получить значения плотности обратных темновых токов на уровне 10^{-12} A/cm^2 , а использование ультратонкого наружного слоя p^+ -GaAs, аккумулирующего поверхностный объемный заряд, — значения внутреннего коэффициента сопротивления в ультрафиолетовой области $Q_{uv} = 0.75$, что открывает перспективы применения таких структур в солнечных элементах и фотоприемниках различного назначения.

СПИСОК ЛИТЕРАТУРЫ

- [1] В. М. Андреев, В. А. Грилихес, В. Д. Румянцев. Фотоэлектрическое преобразование концентрированного солнечного излучения, 309. Л. (1989).
- [2] В. М. Андреев, А. А. Воднев, В. Р. Ларионов, Т. А. Прутких, В. Д. Румянцев, К. Я. Расулов, В. П. Хвостиков. ФТП, 23, 597 (1989).
- [3] Ж. И. Алфёров, К. Ю. Погребицкий, В. М. Андреев, А. А. Воднев, С. Г. Конников, В. Р. Ларионов, В. Д. Румянцев, В. П. Хвостиков. Письма ЖТФ, 12, 1083 (1986).
- [4] В. Р. Ларионов, А. М. Минтаиров, К. Е. Смекалин, В. П. Хвостиков. Электронная техника, Сер. Материалы, вып. 4 (258), 38 (1991).
- [5] J. Batley, S. L. Wright. J. Appl. Phys., 50, 200 (1986).
- [6] Р. Смит. Полупроводники, 558. М. (1982).
- [7] R. Fukasawa, M. Wakaki, K. Ohta, H. Okumura. Japan. J. Appl. Phys., 25, 652 (1986).

Редактор Л. В. Шаронова